

И Н С Т И Т У Т
ЯДЕРНОЙ ФИЗИКИ СОАН СССР

препринт 281

Б.А.Яблочников

ПЕРЕДАЧА МОЩНЫХ ЭЛЕКТРИЧЕСКИХ
ИМПУЛЬСОВ ИЗ МК-ГЕНЕРАТОРА
В АКТИВНУЮ НАГРУЗКУ

Продолжение из заседания Бюро Яблочникова
Пленки № 1 и пачки 28.02.1969 г.
Мар. 0.6 кв.м., терм. 130 квт., фазность
изделия № 100.

Составлено на заседании в Красноярске.

НОВОСИБИРСК

1969

ПЕРЕДАЧА МОЩНЫХ ЭЛЕКТРИЧЕСКИХ ИМПУЛЬСОВ
ИЗ МК-ГЕНЕРАТОРА В АКТИВНУЮ НАГРУЗКУ

Б.А.Яблочников

Б.А.Яблочников

А Н Н О Т А Ц И Я

Исследуется влияние нелинейного во времени закона изменения индуктивности магнитокумулятивного (МК) генератора на соотношение между коэффициентом изменения индуктивности и величиной энергии, переданной в активную нагрузку, подключенную к генератору без промежуточных элементов.

Рис. 1.

На сопротивление R_1 и переменную индуктивность $\bar{L}(t)$. В тот момент, когда постепенно имеет свое максимальное значение \bar{L}_0 , разряжается конденсаторная батарея C при помощи ключа K_2 . Как только ток достигает своей максимальной величины, этот K_2 выключается и индуктивность по действию выходных сил начинает уменьшаться. Произодимая при этом работа в некотором смысле заложена в схеме сопротивления R_1 . Источником излу-

ВОЗДУШНЫЙ ЖИДКОСТИЧЕСКИЙ ГЕНЕРАТОР
С КОМПАКТНЫМ СИНЦИТАЛЮ И АДДИТИВНЫМ ВИ-
ДОВЫМ ПОДСЫПОЧНЫМ МАГНИТОДИЭЛЕКТРИЧЕСКИМ ВН-
ШНИМ СЛОЙОМ

Б.А. БОДАКОВ

ВВИДОЧНОСТЬ

Принцип действия магнитокумулятивного (МК) генератора основан на сжатии проводящим контуром предварительно созданного в нем магнитного потока. В данной работе будет рассмотрен случай использования МК-генератора в качестве источника энергии для питания постоянного активного сопротивления. Схема соединения элементов электрической цепи приведена на рис. 1, где МК-генератор представлен в виде переменной индуктивности.

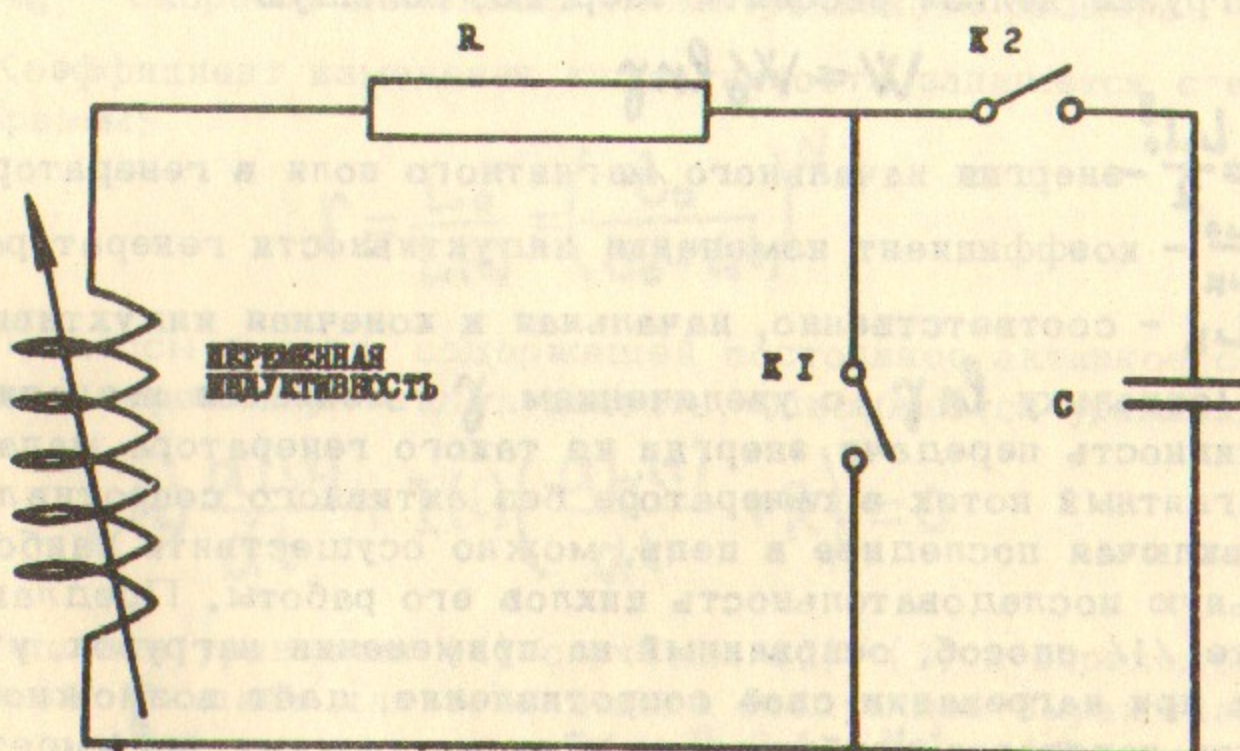


Рис. 1.

На сопротивление R и переменную индуктивность $L(t)$ в тот момент, когда последняя имеет свое максимальное значение L_0 , разряжается конденсаторная батарея C при помощи ключа K_2 . Когда разрядный ток достигает своей максимальной величины, ключ K_1 замыкается и индуктивность по действием внешних сил начинает уменьшаться. Производимая при этом работа в конечном счете идет на нагрев сопротивления R . Источником энер-

гии внешних сил является взрывчатка.

Вопрос об использовании взрывного генератора для питания активных нагрузок до сих пор не имеет удовлетворительного решения. Наиболее широко для этих целей используется конструкция рассмотренная в работе /1/. Она представляет из себя соленоид, внутри которого coaxialno расположена металлическая труба, начиненная взрывчаткой. В процессе взрыва труба, расширяясь, закорачивает последовательно витки соленоида, уменьшая тем самым его индуктивность. Как показано в той же статье, в случае равномерной намотки соленоида, то есть индуктивность со временем меняется линейно, при оптимальных параметрах генератора в нагрузке нельзя рассеять энергию, большую

$$W = W_0 \ell n \gamma \quad (1)$$

где $W_0 = \frac{L_0 I_0^2}{2}$ - энергия начального магнитного поля в генераторе,

$\gamma = \frac{L_0}{L_K}$ - коэффициент изменения индуктивности генератора,

L_0, L_K - соответственно, начальная и конечная индуктивности.

Поскольку $\ell n \gamma$ с увеличением γ меняется незначительно, эффективность передачи энергии из такого генератора мала. Сжимая магнитный поток в генераторе без активного сопротивления, а затем включая последнее в цепь, можно осуществить наиболее рациональную последовательность циклов его работы. Предлагаемый в работе /1/ способ, основанный на применении нагрузок, увеличивающих при нагревании своё сопротивление, даёт возможность осуществить некоторое приближение к этому режиму, но имеет весьма ограниченные возможности из-за специфического характера нагрузок. Улучшение соотношения (1) за счет использования согласующих трансформаторов, разрывов контуров и т.п. возможно, но менее желательно, нежели подключение нагрузки непосредственно к выходу генератора.

Исследованию влияния нелинейной зависимости $L(t)$ генератора на эффективность передачи энергии в активную нагрузку уделено основное внимание в данной статье. Необходимо отметить, что нелинейный закон $L(t)$ использовался, из несколько иных соображений, в экспериментах по получению сильных токов, раб. /2/.

ТЕОРИЯ ПЕРЕДАЧИ ЭНЕРГИИ ИЗ МК-ГЕНЕРАТОРА В АКТИВНУЮ НАГРУЗКУ

Закон изменения индуктивности во времени будет задаваться в виде степенной функции

$$L(t) = L_0 \left(1 - \frac{V_0}{b_0} t\right)^N \quad (2)$$

где $N = \frac{m}{m-1}$ (m - положительное, целое > 1),

b_0 - характерный геометрический размер (рис.3),

V_0 - скорость изменения геометрического размера.

Коэффициент изменения индуктивности запишется следующим образом:

$$\gamma = \frac{L_0}{L(t)} = \left(\frac{b_0}{b_0 - V_0 t} \right)^N \quad (3)$$

Процессы в цепи, содержащей постоянное активное сопротивление и переменную индуктивность, описываются уравнением

$$L(t) \frac{dI(t)}{dt} + I(t) \left(\frac{dL(t)}{dt} + R \right) = 0 \quad (4)$$

Решение уравнения (4) с учетом (2), (3) и переходом к переменной γ даёт для тока в цепи следующее выражение:

$$I(\gamma) = I_0 \gamma^{\frac{1}{N-1}} \exp \left[\left(-\frac{R}{N-1} \right) \left(\gamma^{\frac{N-1}{N}} - 1 \right) \right] \quad (5)$$

где

$$\gamma = \frac{R b_0}{V_0 L_0} \quad (6)$$

Энергия, поглощенная в активной нагрузке, находится по формуле

$$W = \int_0^t I(t)^2 R dt \quad (7)$$

Подстановка (5) и (3) в (7) даёт

$$W_N = W_0 \frac{2\eta}{N} \int_1^{\frac{N-1}{N}} x^{\frac{N-1}{N}} \exp\left[\left(-\frac{2\eta}{N-1}\right)\left(x^{\frac{N-1}{N}} - 1\right)\right] dx$$

После замены переменной $\sqrt[N]{x} = x$ это выражение перепишется следующим образом:

$$W_N = W_0 \frac{2\eta}{N-1} \exp\left(\frac{2\eta}{N-1}\right) \int_1^N x^{\frac{1}{N-1}} \exp\left(-\frac{2\eta}{N-1} x\right) dx$$

В случае, когда $\frac{N}{N-1} = m$ (m - целое ≥ 1) (9),

интеграл может быть решен в элементарных функциях. Максимальная величина N из условия (9) равна двум.

Для выяснения влияния показателя N на количество переданной в активную нагрузку энергии удобнее всего воспользоваться возможностью получать решения выражения (8) в аналитическом виде, когда они допускаются условием (9). Это позволит иметь решения не только интересные сами по себе, но и аппроксимировать установленную качественную зависимость $W(N)$ на случае $N > 2$. Имея в виду, что решение для $N = 1$ дано в [1], естественно выбрать случай максимального N из условия (9), то есть $N = 2$ и промежуточный между $N = 1$ и $N = 2$, то есть $N = 1.5$. В дальнейшем формулы, соответствующие тому или иному значению N будут сопровождаться цифровыми индексами у основания определяемой величины.

Решая (8) для $N = 2$, имеем:

$$W_2 = W_0 \left[\left(1 + \frac{1}{\eta} + \frac{1}{2\eta^2} \right) - e^{-2\eta(\sqrt{r}-1)} \left(r + \frac{\sqrt{r}}{\eta} + \frac{1}{2\eta^2} \right) \right] \quad (10)$$

для $N = 1.5$

$$W_{1.5} = \frac{3}{4} W_0 \left[\left(\frac{4}{3} + \frac{1}{\eta} + \frac{1}{2\eta^2} + \frac{1}{2\eta^3} \right) - e^{-4\eta(\sqrt{r}-1)} \left(\frac{4}{3}r + \frac{3\sqrt{r}}{\eta} + \frac{3\sqrt{r}}{2\eta^2} + \frac{1}{8\eta^3} \right) \right] \quad (11)$$

Максимумы этих выражений в зависимости от η имеют

место при

$$\eta \approx \frac{1}{\sqrt{r}} \quad N=2 \quad (12)$$

$$\eta \approx \frac{1}{3\sqrt{r}} \quad N=1.5 \quad (13)$$

Физически условия (12) и (13) означают, что для каждого конечного значения r необходимо с помощью формулы (6) подобрать такие параметры генератора и нагрузки, чтобы вышеназванные соотношения удовлетворялись.

Подставляя (12) и (13) соответственно, в (10) и (11) получаем выражения для энергии, переданной в активную нагрузку, от генератора, работающего в оптимальном режиме

$$W_2 = W_0 \left\{ \frac{1}{2} r [1 - 5 \exp\left(\frac{2}{\sqrt{r}} - 2\right)] + \sqrt{r} + 1 \right\} \quad (14)$$

$$W_{1.5} = \frac{1}{32} W_0 \left[(32 + 24\sqrt{r} + 12\sqrt{r}^2 + 3r) - 71r \exp\left(\frac{4}{3\sqrt{r}} - 4\right) \right] \quad (15)$$

В таблице 1 приведены результаты расчета, полученные по формулам (1), (14) и (15) для трех значений r .

Таблица 1.

r	Формула (1) $N = 1$	Формула (15) $N = 1.5$	Формула (14) $N = 2$
50	3,9	7,4	10,9
100	4,6	11,4	19,7
200	5,3	21,0	37,3

Сравнивая величины, собранные в таблице 1, можно сделать вывод: с увеличением N эффективность передачи энергии значи-

тельно возрастает. С этой точки зрения случаи с $N > 2$ имеют несомненный интерес, но, поскольку решения для них не могут быть получены в аналитическом виде, что значительно усложняет дальнейший анализ, есть смысл ограничиться случаем $N = 2$ и рассмотреть его несколько подробнее.

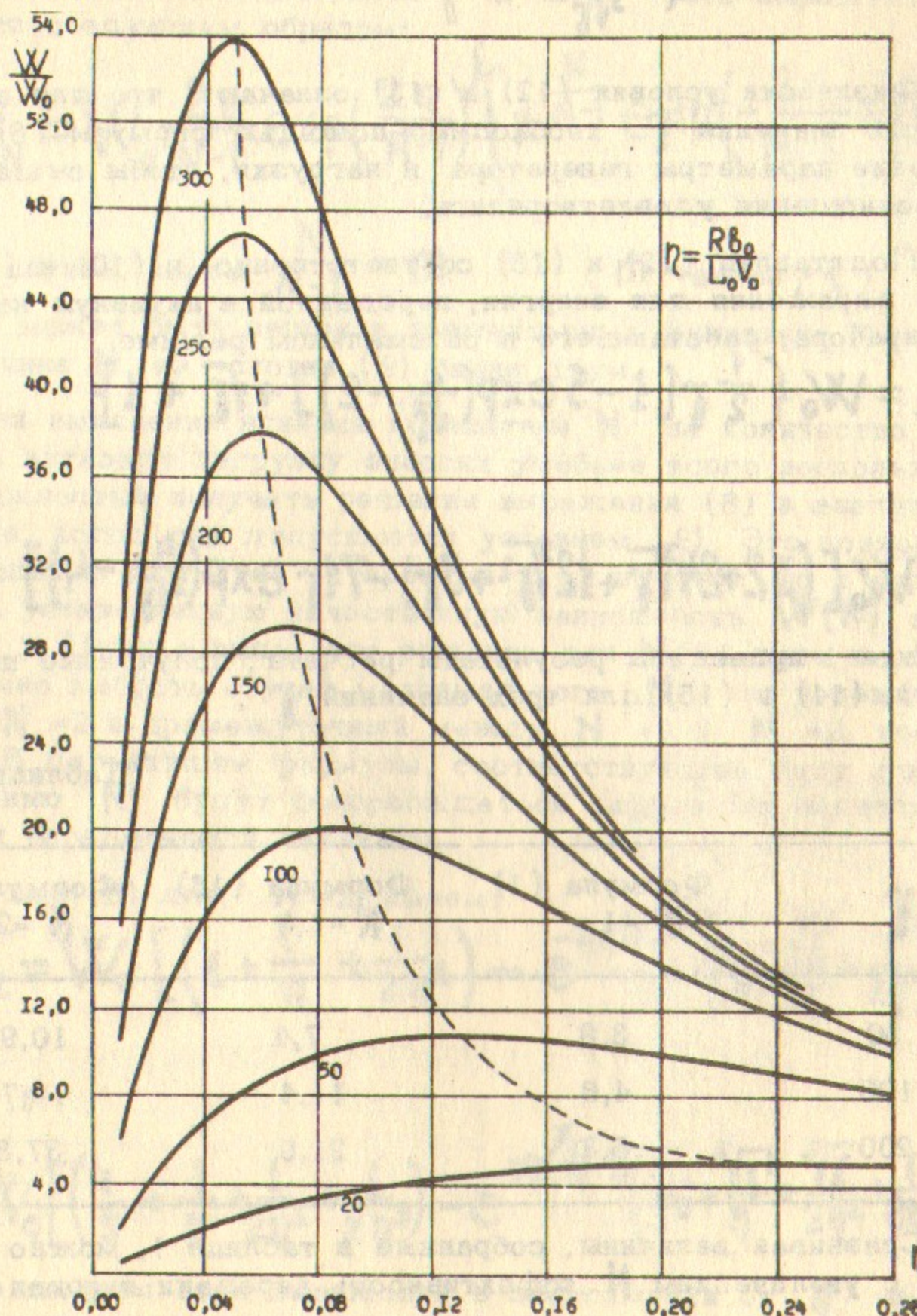


Рис. 2.

На рис. 2 представлены графики $\frac{W}{W_0} = f(\eta)$ при нескольких значениях Γ , полученные с помощью формулы (10). Значения Γ стоят около соответствующих кривых, штриховая линия проходит через максимумы. С увеличением Γ кривые обостряются, что в конечном счете означает возрастание критичности системы к выбору параметра η .

Энергия магнитного поля в генераторе определяется следующим соотношением:

$$W_{2M} = \frac{L(t) I^2(t)}{2} = W_0 \gamma e^{-2\eta(\sqrt{\Gamma}-1)} \quad (17)$$

Максимум полученного выражения в зависимости от Γ имеет место при

$$\Gamma = \frac{1}{\eta^2}$$

Таким образом, условие максимума передаваемой в нагрузку энергии при $\Gamma = \text{const}$ и $\eta = \text{Var}$ совпадает с условием максимума энергии магнитного поля при $\eta = \text{const}$ и $\Gamma = \text{Var}$, причем величина последней записывается следующим образом:

$$W_{2M} = W_0 \gamma e^{(\frac{2}{\Gamma} - 2)} \quad (18)$$

Вопрос о способе её утилизации может быть решен в каждой конструкции конкретно. Анализируя общий случай, то есть выражение:

$$W_{NM} = W_0 \gamma \exp\left[-\frac{2\eta}{N-1}\left(\Gamma^{\frac{N-1}{N}} - 1\right)\right] \quad (19)$$

нетрудно показать, что и величина энергии магнитного поля в генераторе с увеличением N также увеличивается.

Квадратичный закон $L(t)$ осуществляется в опытах с мегагауссовыми полями при обжатии полых металлических цилиндров. Такая конструкция в своем первоначальном виде не может быть использована в качестве источника питания активных нагрузок из-за своих очевидных недостатков — малой начальной индуктивности и сложности исполнения вывода к нагрузке. Если сопротивление потребителя имеет величину $\sim 10^{-1} \div 10^{-3}$ ом, от МК-генератора требуется относительно большая начальная индуктивность. Поэтому наиболее рационально использовать многовитковые

конструкции в виде однослойных соленоидов. В принципе, для осуществления заданных здесь зависимостей $L(t)$, можно воспользоваться конструктивной схемой генератора, рассмотренной в работе /1/, делая шаг витков переменным. Но в этой конструкции, при желании получить N сколь-нибудь значительно отличающимся от единицы, неизбежно придется столкнуться с трудностями производственного характера. Соображения подобного рода наводят на мысль об объединении в одном генераторе положительных качеств двух упомянутых конструктивных схем. К таковому можно отнести генератор на базе соленоида с треугольным поперечным сечением и числом витков $W > 1$. При такой геометрической форме соленоида перемещение любой из образующих его граней меняет индуктивность по квадратичному закону рис. 3 (сплошная линия).

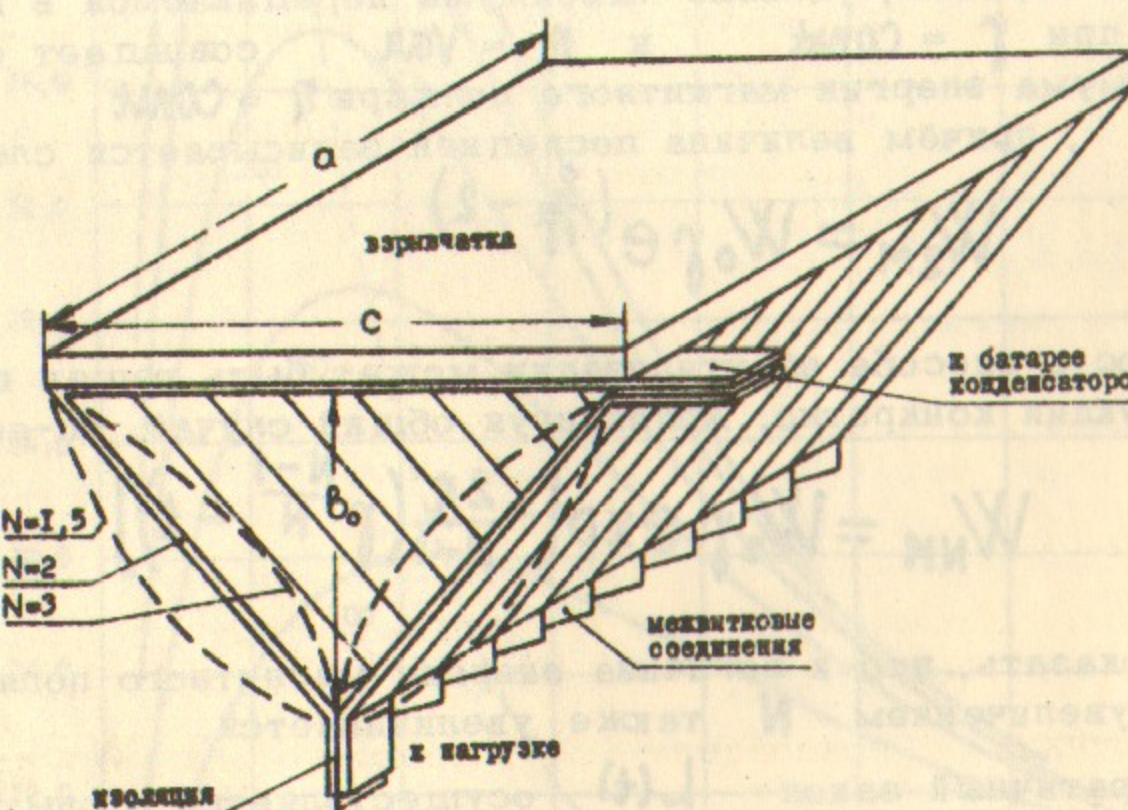


Рис. 3.

Так как для работы МК-генератора, построенного по этой конструктивной схеме, достаточно перемещения лишь одной из граней, образующих соленоид, подсоединение нагрузки осуществляется довольно просто.

Взрывчатка должна располагаться вдоль грани, противоположной выводу. Подобная конструкция в одновитковом исполнении удовлетворительно работала в опытах по получению сильных магнитных полей /3/.

Пренебрегая концевыми эффектами, можно считать изменение индуктивности пропорциональным изменению площади поперечного сечения соленоида. Тогда нужный закон $L(t)$ может быть задан соответствующим профилированием сечения. В тех случаях, когда заданный закон $L(t)$ имеет большое N , нужно иметь в виду следующее:

Из сравнения соотношений (12) и (13) можно установить, что с увеличением N при тех же конечных γ , величина η уменьшается. Формула (6) показывает, что при прочих равных условиях, это означает необходимость увеличения L_0 . Но, как показано на рис.3, возможность осуществления больших N на базе треугольного соленоида идет за счет уменьшения отношения площади поперечного сечения соленоида к его периметру. В тех же габаритных размерах соленоида общее уменьшение индуктивности также имеет место. Таким образом, увеличение индуктивности до требуемой соотношением (6) величины может происходить только путем значительного увеличения числа витков и размеров соленоида. Следствием этого является усиление влияния собственных потерь в генераторе на процессы в системе, точный учет которого представляет самостоятельную задачу и выходит за рамки данной статьи.

Выводы:

1. Нелинейный закон $L(t)$ позволяет значительно улучшить соотношение $W_N = f(\gamma)$. Задавая этот закон в виде степенной функции с показателем N , можно при $N = \frac{m}{m-1}$ получать решения $W_N(\gamma, \eta)$ в аналитическом виде.
2. Применение указанных закономерностей сопровождается увеличением энергии магнитного поля в генераторе, которая может быть нужным образом утилизирована.
3. Использование соленоида с треугольным поперечным сечением в качестве базы для создания МК-генераторов позволяет относительно просто обеспечивать требуемые величины L_0 и зависимости $L(t)$, не создавая принципиальных трудностей для подсоединения нагрузки.

Автор благодарит кандидатов физ.-мат. наук Долгова-Савельева Г.Г., Войтенко А.Е. и Олейника А.Г. за полезные обсуждения и интерес к работе.

Л и т е р а т у р а

1. R.L.Conger, J.Appl.Phys, V.38, N5, 1967, p.2275
 2. А.Д.Сахаров, У.Ф.Н., т. 88, № 4, 1966, 725.
 3. H.Kel'mat all, High Magnetic Fields, 1962, New York.

Ответственный за выпуск Б.А.Яблочников

Подписано к печати 25.02.1969 г.

Усл. 0,6 деч.л., тираж 150 экз. Бесплатно.

Заказ № 281.

卷之三

Отпечатано на ротапринте в ИЯФ СО АН СССР

СОВЕТСКИЙ СОЮЗ ОБЪЯВЛЯЕТ ВСЕМ МИРОВЫМ МОНОГРАФИЯМ